

## Transistor bipolaire

découvert en 1947 par Brattain, Bardeen et Shockley;  
ils obtinrent le prix Nobel pour cette invention en 1956.

- ☐ introduction
- ☐ conduction dans les solides
- ☐ semi-conducteurs et dopage
- ☐ jonction PN
- ☐ technologie
- ☒ transistor bipolaire à jonctions
- ☐ transistor MOS
- ☐ circuits intégrés

2013-14

D. Flandre

1

## Transistor bipolaire

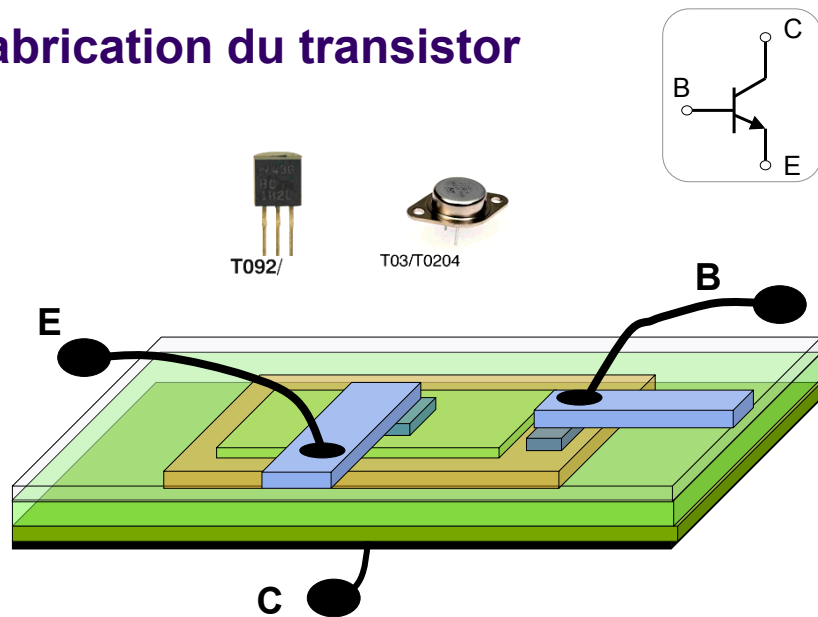
- structure et principe
- régime actif
- régime inverse
- régime saturé
- écarts par rapport à l'idéal  
(effet Early, température...)
- comportement dynamique
- applications

2013-14

D. Flandre

2

## fabrication du transistor

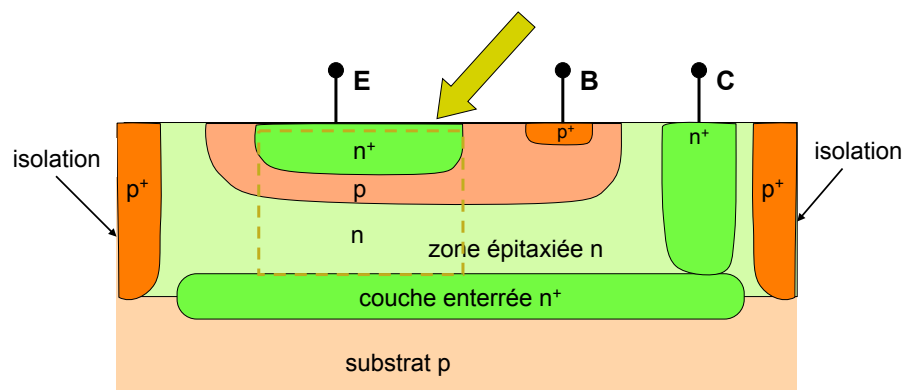


2013-14

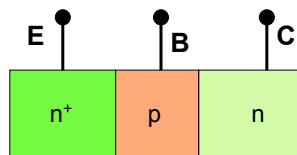
D. Flandre

3

## structure



structure idéalisée :  
transistor  
« intrinsèque »

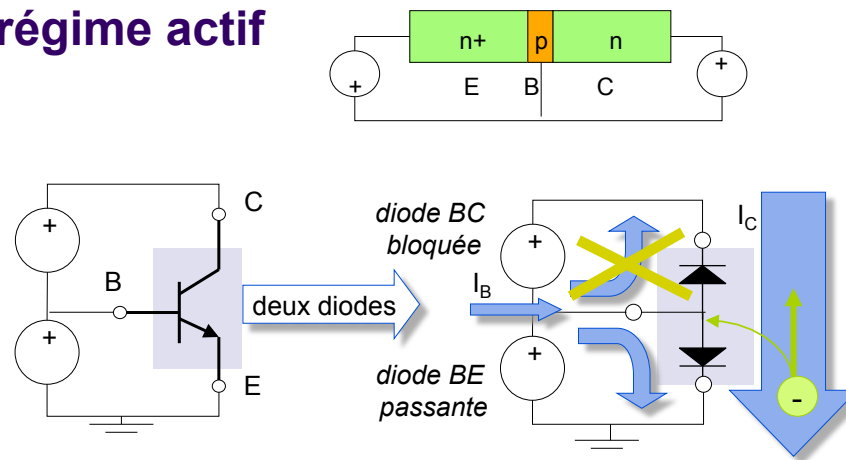


2013-14

D. Flandre

4

## régime actif



$I_B$  = courant de base :  
commandé par la diode BE

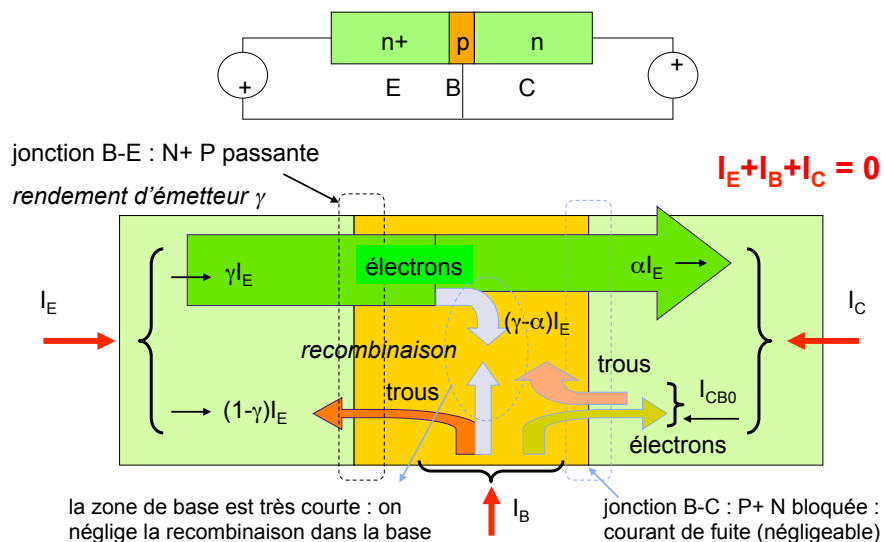
$I_C$  = courant de collecteur :  
« aspire » le courant  
d'émetteur (si  $W_B$  courte)

2013-14

D. Flandre

5

## les différents courants



2013-14

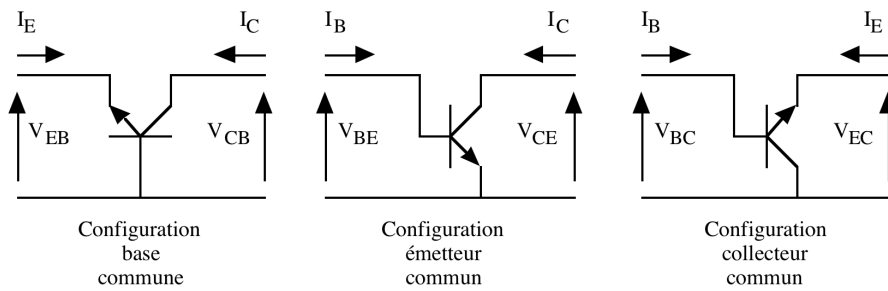
D. Flandre

6

## configurations et caractéristiques

Transistor : quadripôle à deux accès

Borne de référence commune à l'entrée et à la sortie



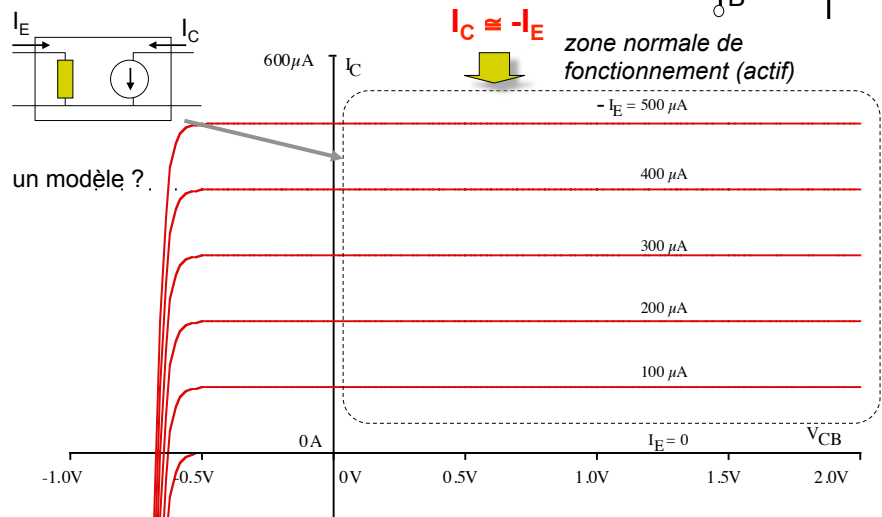
**Convention de signe : courants positifs entrants !**

2013-14

D. Flandre

7

## caractéristiques de sortie en base commune



2013-14

D. Flandre

8

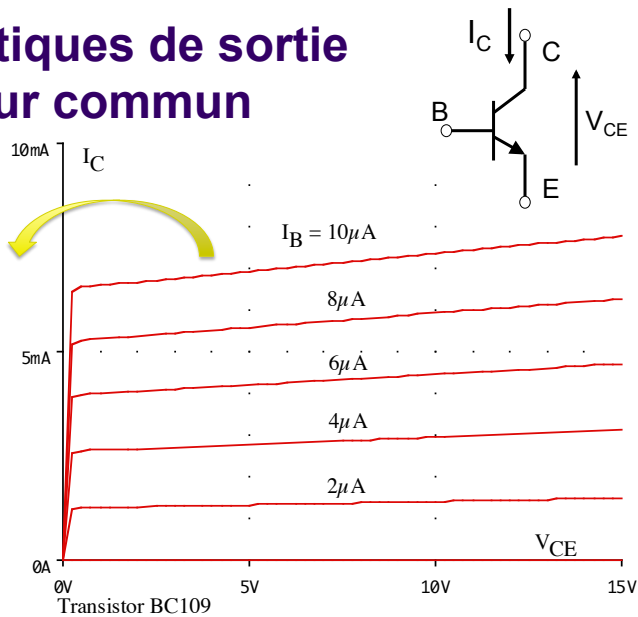
## caractéristiques de sortie en émetteur commun

Régime actif:

$$I_C \approx I_B \cdot \beta_F$$

$$\beta_F \approx 100$$

Gain « forward »  
(sens direct)  
en émetteur  
commun

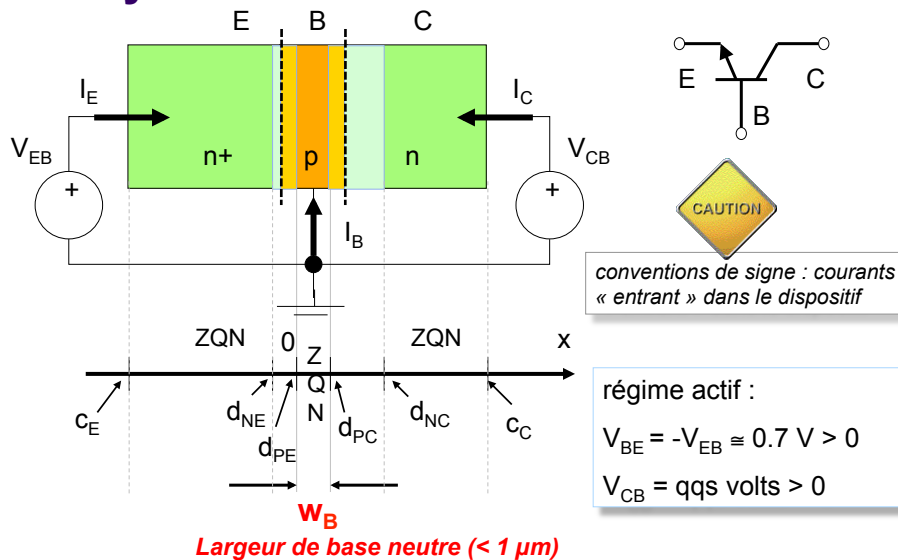


2013-14

D. Flandre

9

## analyse du fonctionnement

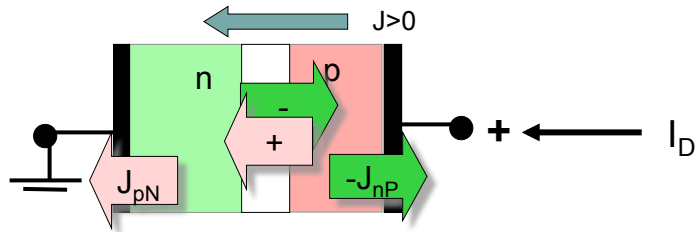


2013-14

D. Flandre

10

## rappel : diode



Diode courte : la recombinaison est négligeable.

$$I_D = A (J_{pN} + J_{nP})$$

⇒ on calcule tout à partir des minoritaires, en considérant les excédents de porteurs ( $n'$  et  $p'$ )

$I_s$  : fonction de  $W$  ou  $L$  selon le temps de vie et les dimensions

2013-14

D. Flandre

11

## jonctions base-émetteur passante et base-collecteur bloquée

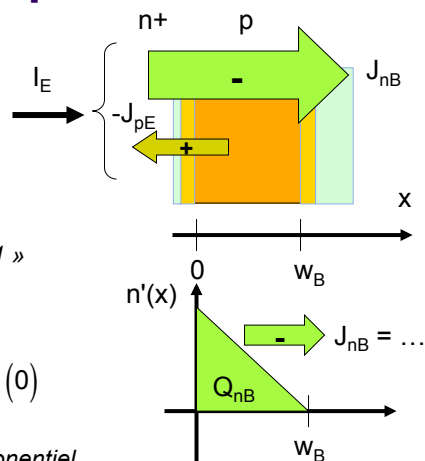
*hypothèse : pas de recombinaison dans la base*

$$n'_B(0) = n_{0B} \left[ e^{\frac{V_{BE}}{\phi_T}} - 1 \right] \approx n_{0B} e^{\frac{V_{BE}}{\phi_T}}$$

diode B-E passante : terme « -1 » négligeable

$$n'_B(w_B) = n_{0B} \left[ e^{\frac{V_{BC}}{\phi_T}} - 1 \right] \approx -n_{0B} \ll n'_B(0)$$

diode B-C bloquée : terme exponentiel négligeable

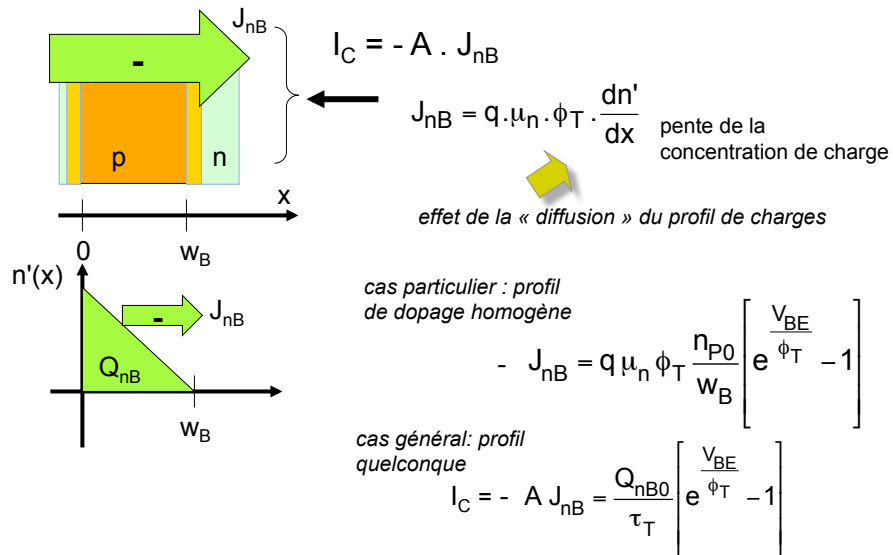


2013-14

D. Flandre

12

## calcul du courant de collecteur

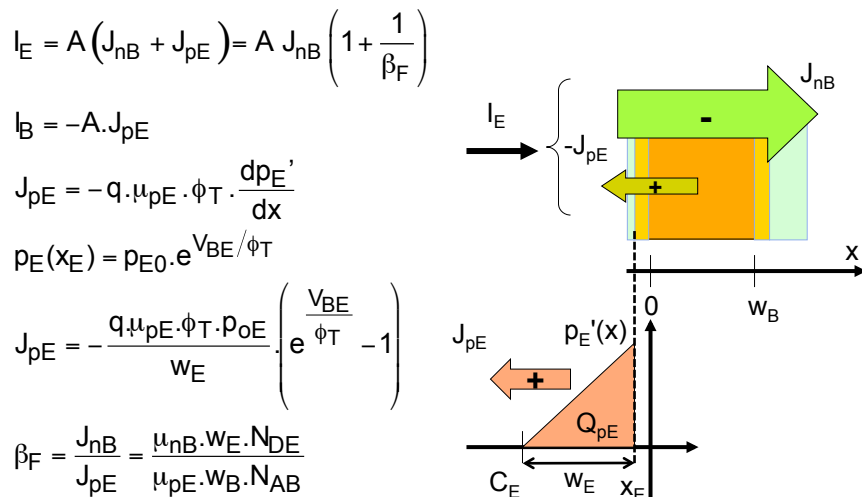


2013-14

D. Flandre

13

## calcul du courant d'émetteur



2013-14

D. Flandre

14

## seuls les électrons arrivent au collecteur

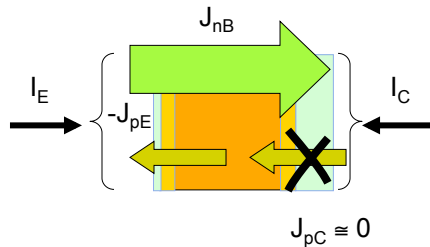
$$I_C = -A J_{nB} = I_s \left[ e^{\frac{V_{BE}}{\phi_T}} - 1 \right]$$



ce courant de fuite  $I_s$  correspond uniquement au courant d'électrons  $J_{nB}$  : il est mesurable (sépare électrons et trous)

$$I_s = A q \mu_n \phi_T \frac{n_{p0}}{w_B}$$

c'est  $I_C/I_s$  qui correspond à  $V_{EB}$ , et non  $I_E/I_s$  !



$$\Rightarrow J_{nB} = \frac{-I_s}{A} \left[ e^{\frac{V_{BE}}{\phi_T}} - 1 \right]$$

$$J_{pE} = \frac{1}{\beta_F} \frac{I_s}{A} \left[ e^{\frac{V_{BE}}{\phi_T}} - 1 \right]$$

2013-14

D. Flandre

15

## jonction base-collecteur bloquée

courant collecteur : uniquement électrons qui ont traversé la base  $\Rightarrow$  **courant de transport  $I_F$**  :

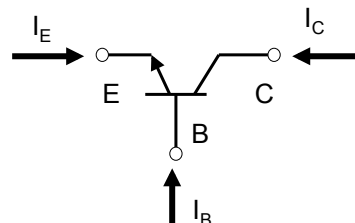
$$I_C = -A J_{nB} = I_F = I_s \left[ e^{\frac{V_{BE}}{\phi_T}} - 1 \right]$$

$$\Rightarrow I_E = A (J_{nB} + J_{pE}) = -I_F \left( 1 + \frac{1}{\beta_F} \right)$$

courant de base par Kirchoff :

$$I_B = -(I_E + I_C) = \frac{I_F}{\beta_F}$$

avec  $\beta_F = \frac{J_{nB}}{J_{pE}}$



2013-14

D. Flandre

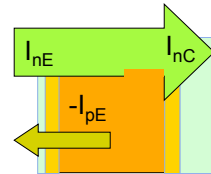
16



## Interprétation

Rendement d'émetteur (en direct)

$$\gamma_F = \frac{I_{nE}}{I_{nE} + I_{pE}} \bigg|_{V_{BC}=0}$$



$$\gamma_F \approx \frac{1}{1 + \frac{D_{pE} p_{oE} L_{nB} w_B}{D_{nB} n_{oB} w_E L_{nB}}} = \frac{1}{1 + \frac{\mu_{pE} p_{oE} w_B}{\mu_{nB} n_{oB} w_E}}$$

$$n_{oE} \approx N_{DE} \gg N_{AB} \approx p_{oB} \text{ implique } \frac{n_i^2}{n_{oE}} = p_{oE} \ll n_{oB} = \frac{n_i^2}{p_{oB}}$$

Facteur de transport dans la base  $\beta_T = - \frac{I_{nC}}{I_{nE}} \bigg|_{V_{BC}=0} = + \frac{J_{nC}}{J_{nE}} \bigg|_{V_{BC}=0}$

$$\beta_T \approx 1 - \frac{(w_B/L_{nB})^2}{2} \quad \beta_F \text{ augmente si } w_B \ll L_{nB} \quad w_B = \begin{matrix} 20 \mu\text{m} \dots \text{en } 1954 \\ \leq 0,1 \mu\text{m} \dots \text{en } 1993 \end{matrix}$$

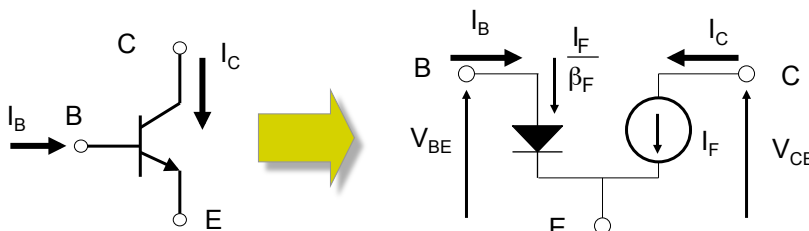
$$\alpha_F = \beta_T \gamma_F \quad \beta_F = \frac{\alpha_F}{1 - \alpha_F} \quad \beta_F > 100 \dots \rightarrow \alpha_F > 0,99$$

2013-14

D. Flandre

17

## modèle régime actif

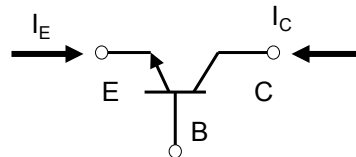


$\beta_F$  : gain en courant direct en **émetteur** commun (base = entrée, collecteur = sortie) :  $I_C = \beta_F I_B$

en **base** commune :  $I_C = -\alpha_F I_E$

avec

$$\alpha_F = \frac{\beta_F}{1 + \beta_F}$$

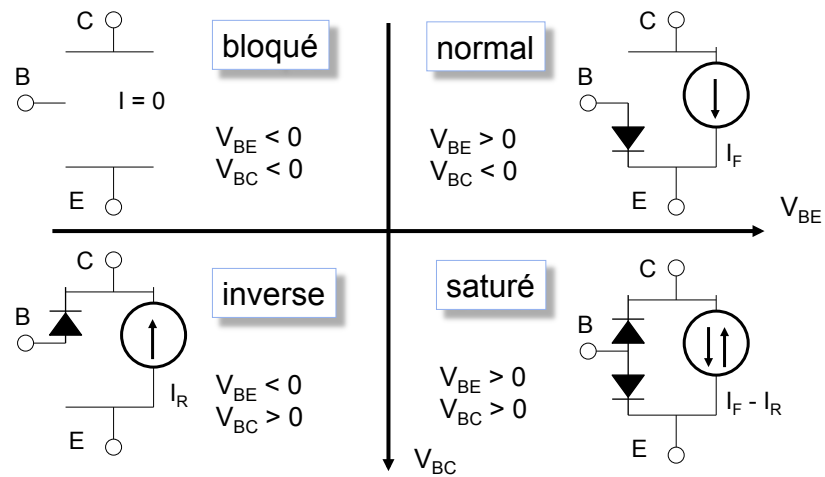


2013-14

D. Flandre

18

## 4 modes de fonctionnement



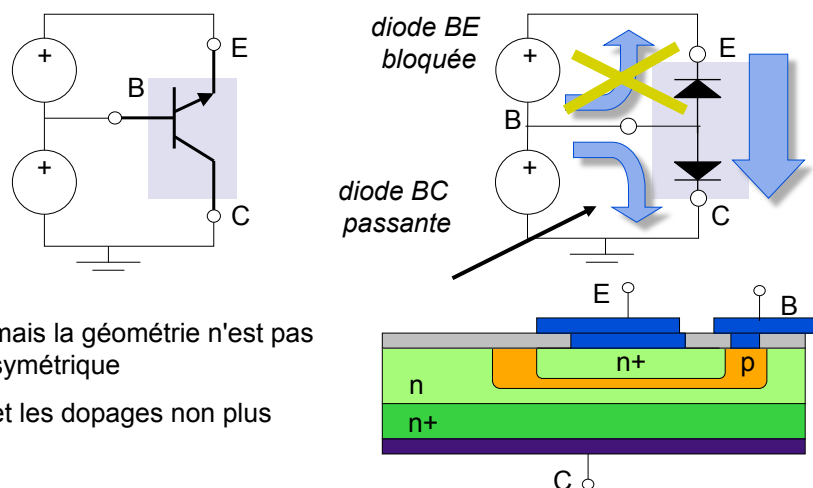
Le régime actif est un cas particulier du régime normal :  $V_{BE} \approx 0.7 \text{ V (Si)}$

2013-14

D. Flandre

19

## régime inverse



mais la géométrie n'est pas symétrique  
et les dopages non plus

2013-14

D. Flandre

20

## jonction base collecteur passante

$$n'_B(w_B) = n_{0B} \left[ e^{\frac{V_{BC}}{\phi_T}} - 1 \right]$$

courant de **transport inverse**  $I_R$  :

$$I_E = A J_{nB} = I_R = I_s \left[ e^{\frac{V_{BC}}{\phi_T}} - 1 \right]$$

$$I_C = -A (J_{nB} + J_{pC}) = - \left( 1 + \frac{1}{\beta_R} \right) I_R$$

$$I_B = -(I_E + I_C) = \frac{I_R}{\beta_R}$$

$I_E = \beta_R I_B$

avec

$$\beta_R = \frac{J_{nB}}{J_{pC}} = \frac{\mu_{nB} \cdot w_C \cdot N_{DC}}{\mu_{pC} \cdot w_B \cdot N_{AB}}$$

$$I_s = A q \mu_n \phi_T \frac{n_{p0}}{w_B}$$

2013-14

D. Flandre

21

## régime saturé

les 2 jonctions sont passantes

la relation courant  $\leftrightarrow$  charges est linéaire  
 $\Rightarrow$  superposition

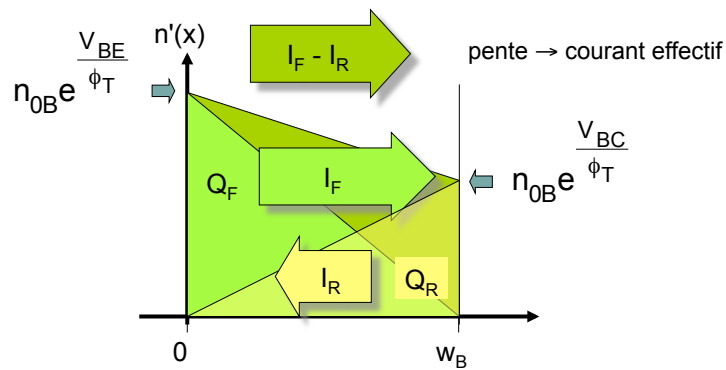
$$J_{nB} = \frac{I_s}{A} \left[ \left( e^{\frac{V_{BE}}{\phi_T}} - 1 \right) - \left( e^{\frac{V_{BC}}{\phi_T}} - 1 \right) \right]$$

2013-14

22

## charges dans la base

$$I_F = I_s \left[ e^{\frac{V_{BE}}{\phi_T}} - 1 \right] \quad I_R = I_s \left[ e^{\frac{V_{BC}}{\phi_T}} - 1 \right]$$



2013-14

D. Flandre

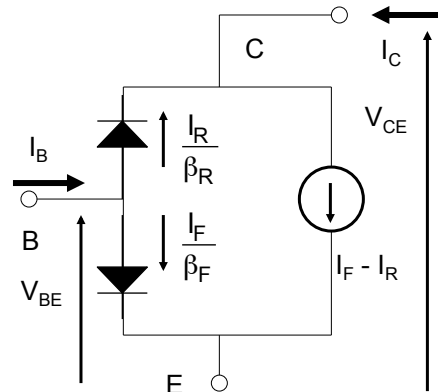
23

## modèle complet : Ebers-Moll

$$I_C = -A (J_{nB} + J_{pC}) = (I_F - I_R) - \frac{I_R}{\beta_R}$$

$$I_E = A (J_{pE} + J_{nB}) = -(I_F - I_R) - \frac{I_F}{\beta_F}$$

$$I_B = -(I_E + I_C) = \frac{I_F}{\beta_F} + \frac{I_R}{\beta_R}$$



« Effet transistor » : modulation du courant de sortie (important) par un courant d'entrée faible !

2013-14

D. Flandre

24

$$\begin{bmatrix} I_E \\ I_C \end{bmatrix} = I_S \begin{bmatrix} -\frac{1}{\alpha_F} & 1 \\ 1 & -\frac{1}{\alpha_R} \end{bmatrix} \begin{bmatrix} \exp(qV_{BE}/kT)-1 \\ \exp(qV_{BC}/kT)-1 \end{bmatrix}$$

$I_C + I_B + I_E = 0$

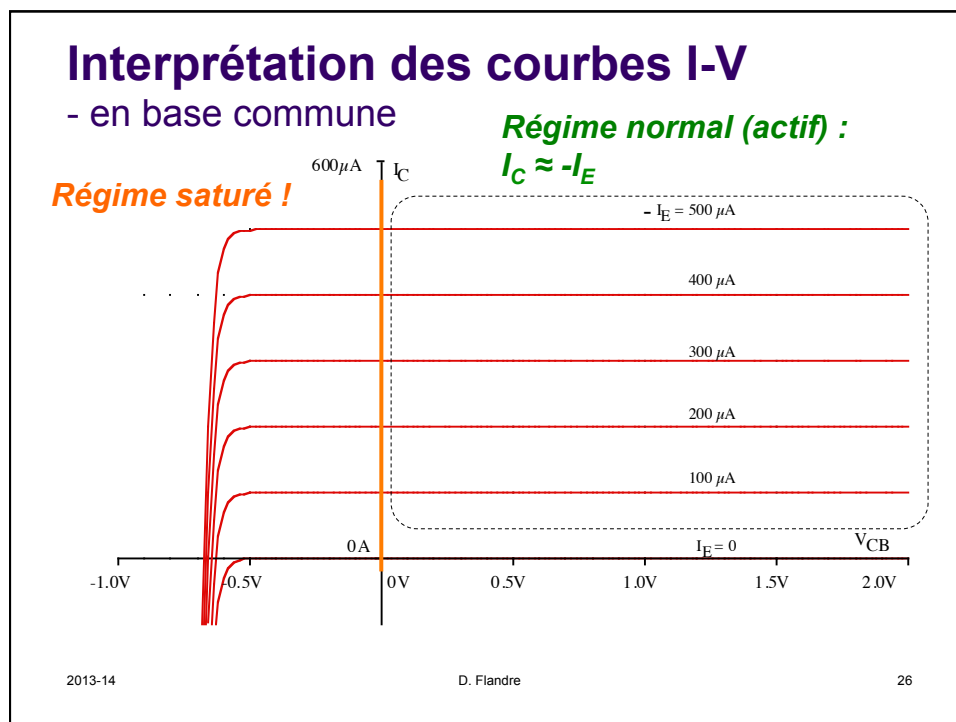
$\beta_F = \frac{\alpha_F}{1 - \alpha_F} \quad \text{et} \quad \beta_R = \frac{\alpha_R}{1 - \alpha_R}$

$\alpha_F = \frac{\beta_F}{1 + \beta_F}, \quad \frac{1}{\alpha_F} = 1 + \frac{1}{\beta_F}$   
 $\alpha_R = \frac{\beta_R}{1 + \beta_R}, \quad \frac{1}{\alpha_R} = 1 + \frac{1}{\beta_R}$

$$\begin{bmatrix} I_E \\ I_C \end{bmatrix} = I_S \begin{bmatrix} -\frac{1}{\beta_F} - 1 & 1 \\ 1 & -1 - \frac{1}{\beta_R} \end{bmatrix} \begin{bmatrix} \exp(qV_{BE}/kT)-1 \\ \exp(qV_{BC}/kT)-1 \end{bmatrix}$$

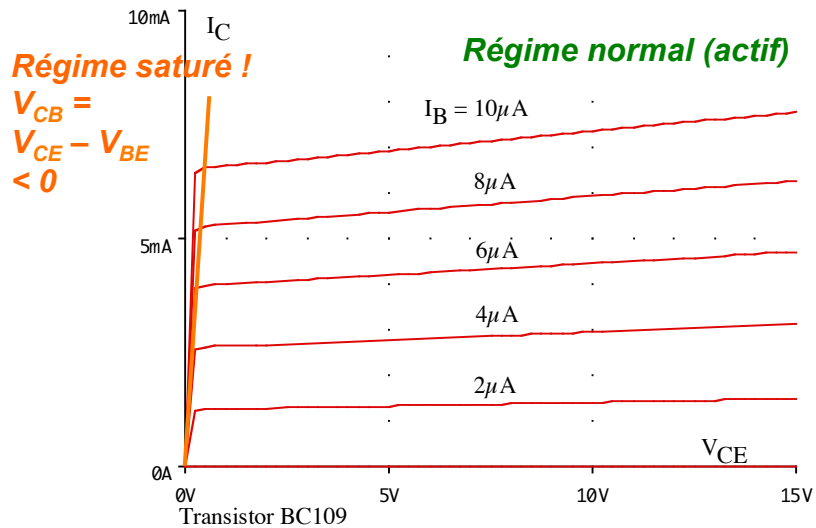
Ebers-Moll :  
2 formes matricielles

25



## Interprétation des courbes I-V

- en émetteur commun



2013-14

D. Flandre

27

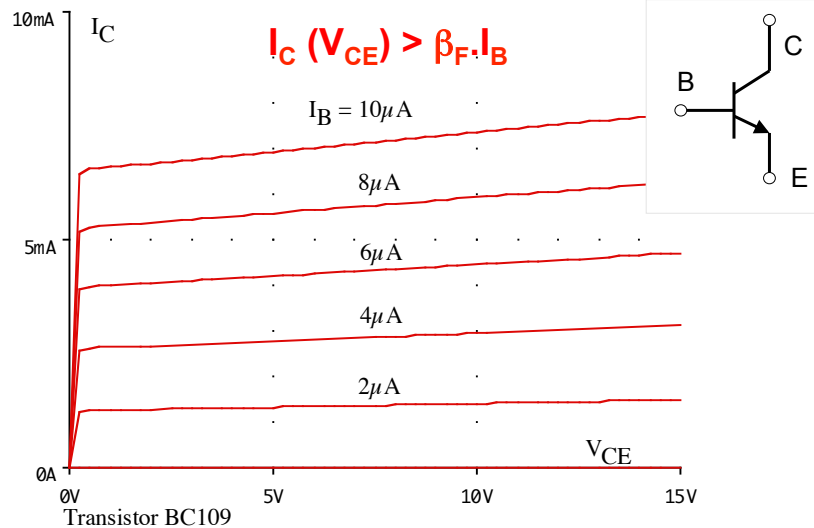
- structure et principe
- régime actif
- régime inverse
- régime saturé
- écarts par rapport à l'idéal (effet Early, température...)
- comportement dynamique
- applications

2013-14

D. Flandre

28

## effet Early : en émetteur commun



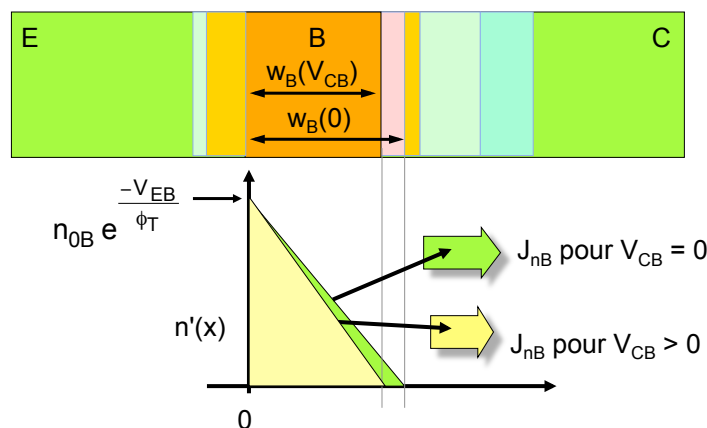
2013-14

D. Flandre

29

## variation de $w_B$

$$w_B(V_{CB}) = w_B(0) - (I_{CB}(V_{CB}) - I_{CB}(0))$$



la largeur de base effective  $\downarrow$  si  $V_{CB} \uparrow \Rightarrow$  la pente du profil  $\uparrow$  et le courant  $\uparrow$

2013-14

D. Flandre

30

## variation de $w_B$ ?

Rappel diode :  $I_{CB}(0) = \sqrt{\frac{2 \cdot \epsilon_s \cdot \phi_0 \cdot N_{DC}}{q \cdot N_{AB}^2}}$   $I_{CB}(V_{CB}) = \sqrt{\frac{2 \cdot \epsilon_s \cdot (\phi_0 + V_{CB}) \cdot N_{DC}}{q \cdot N_{AB}^2}}$

$$w_B(V_{CB}) - w_B(0) = I_{CB}(0) \left( 1 - \sqrt{1 + \frac{V_{CB}}{\phi_0}} \right)$$

$$\beta_F = \frac{J_{nB}}{J_{pE}} = \frac{\mu_{nB} \cdot w_E \cdot N_{DE}}{\mu_{pE} \cdot w_B \cdot N_{AB}}$$

Dépend du dopage de collecteur :

Si  $N_{DC} \ll N_{AB}$ , déplétion  $\uparrow$  dans la région de collecteur,  $\downarrow$  dans la base  
Et effet Early  $\downarrow$

2013-14

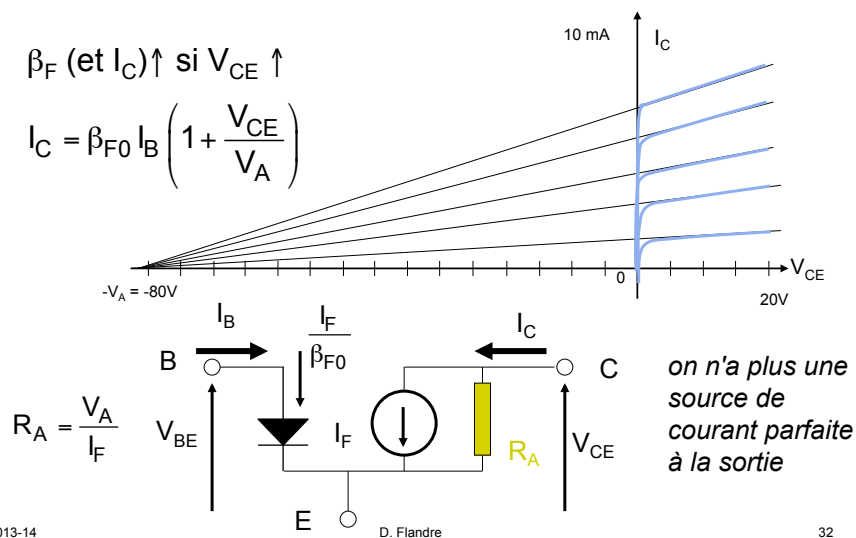
D. Flandre

31

## modélisation par tension d'Early $V_A$

$\beta_F$  (et  $I_C$ )  $\uparrow$  si  $V_{CE} \uparrow$

$$I_C = \beta_{F0} I_B \left( 1 + \frac{V_{CE}}{V_A} \right)$$



2013-14

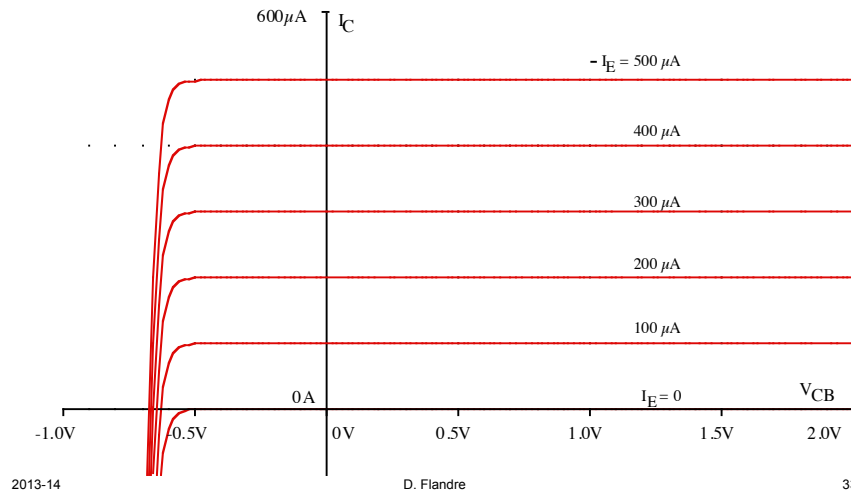
D. Flandre

32

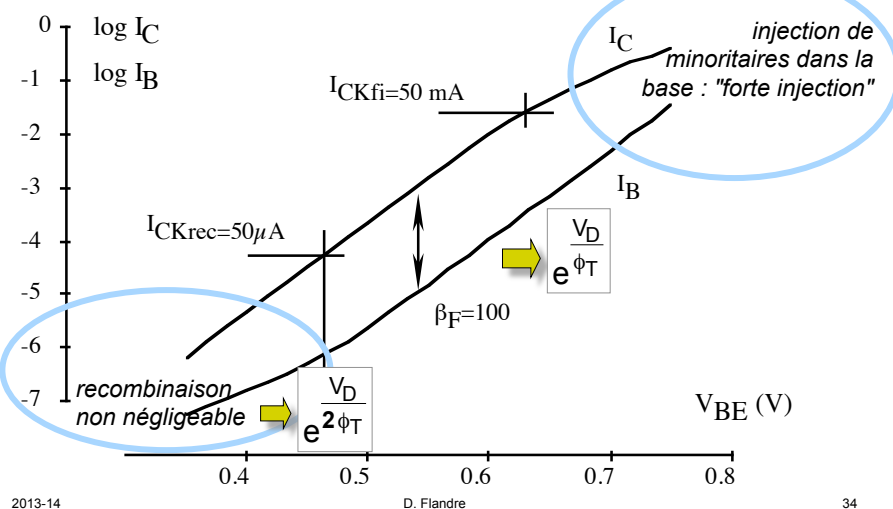


## En base commune:

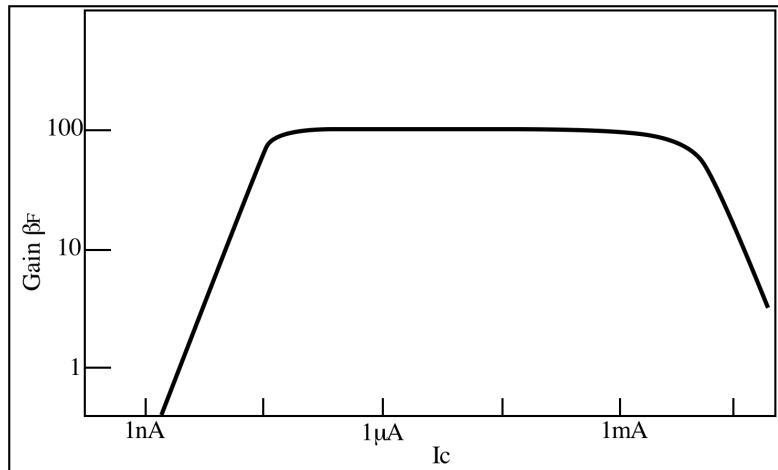
$$V_{EAB} = [\beta_F(0) + 1] V_{EAE}$$



## variation du gain - diagramme de Gummel



## $\beta_F$ dépend de la polarisation



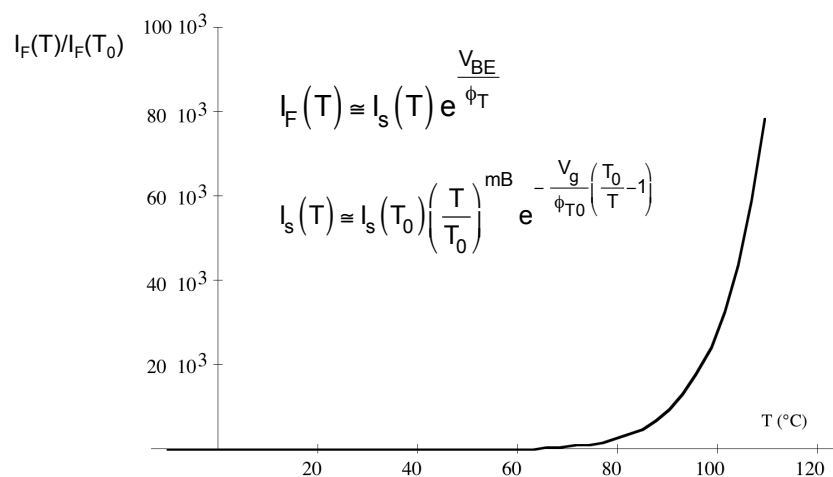
2013-14

D. Flandre

35

## Effet de la température

le courant de saturation  $I_S$  dépend de la température :



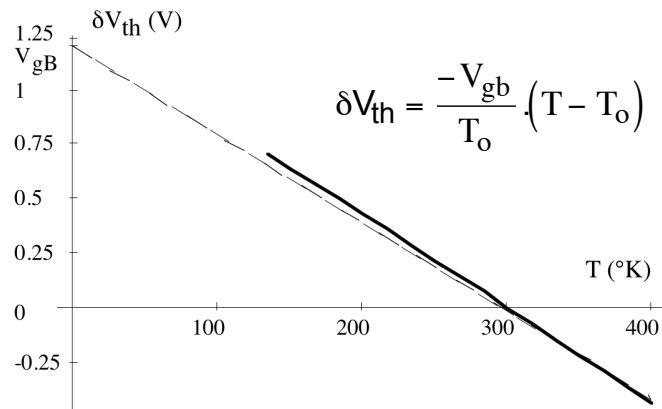
2013-14

D. Flandre

36

## Variation de $V_{BE}$ en fonction de $T$ pour $I_F$ constant

Pour garder  $I_F$  constant et égal à  $I_F(T_0)$  si la température  $T$  varie par rapport à  $T_0$ , il faut appliquer à la tension  $V_{BE}$  une correction, notée  $\delta V_{th}$



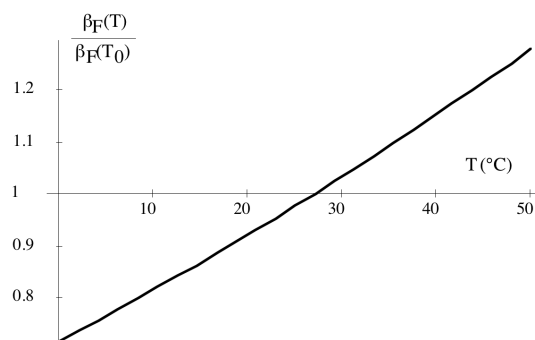
2013-14

D. Flandre

37

## $\beta_F$ dépend de la température

$$\beta_F(T) = \beta_F(T_0) \left( \frac{T}{T_0} \right)^{(m_B - m_E)} \exp \left[ \frac{E_{gB} - E_{gE}}{kT_0} \left( \frac{T_0}{T} - 1 \right) \right]$$


 $\approx 1 \text{ \% / K}$ 

$$\delta I_{th}(T) = I_B \frac{\beta_F(T) - \beta_F(T_0)}{\beta_F(T)}$$

Pour maintenir  $I_C$  constant quand la température monte, il faut diminuer la valeur du courant de base d'une quantité  $\delta I_{th}$

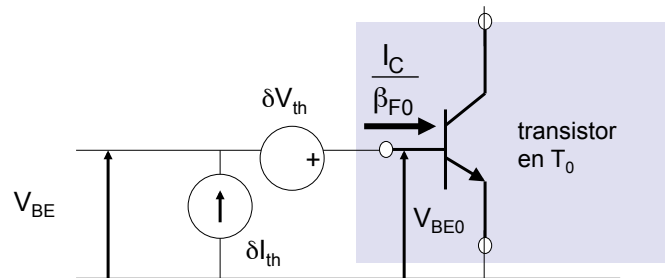
2013-14

D. Flandre

38

## modèle simplifié vs T

L'effet de la température se manifestant comme une variation de la tension appliquée à la jonction d'émetteur, et une variation du courant injecté dans la base; on peut expliciter cela dans le schéma équivalent du transistor en lui adjoignant deux sources,  $\partial V_{th} = 4 \text{ mV/K}$  et  $\partial I_{th} = 1\% I_B/K$  (dans le Silicium)



2013-14

D. Flandre

39

## comportement dynamique

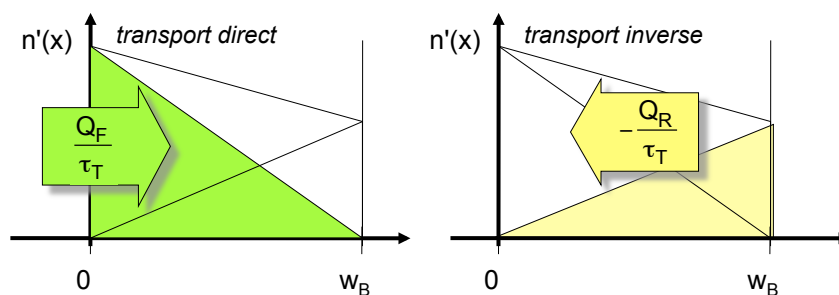
partir du modèle général : écrire les relations de courant en fonction des charges ( $\tau_T$  = temps de transit dans la base)

$$Q_F = \tau_T I_F$$

$$Q_R = \tau_T I_R$$

ces charges sont non linéaires

*on simplifie en  
prenant le même  
temps de transit*



2013-14

D. Flandre

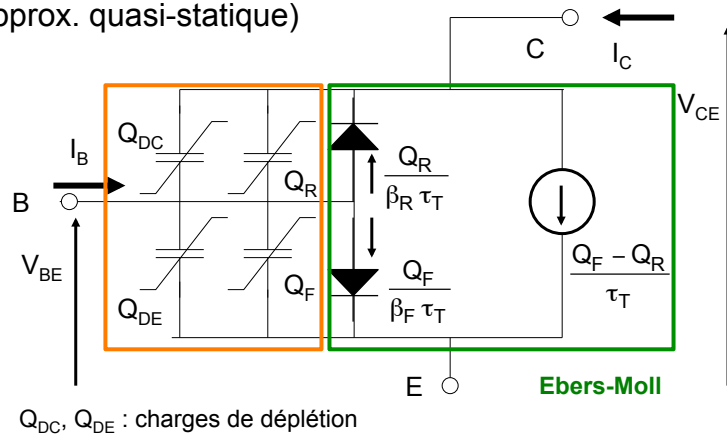
40

## modèle de charges

Variation de charges  
 $\Rightarrow$  courants dynamiques

(approx. quasi-statique)

$$I = \frac{dQ}{dt} = \frac{d}{dt} [Q(V)] = \frac{dQ}{dV} * \frac{dV}{dt}$$



2013-14

D. Flandre

41

## équations des charges

$$\phi_{0E} = \phi_T \ln \left( \frac{N_{AB} * N_{DE}}{n_i^2} \right)$$

$$\phi_{0C} = \phi_T \ln \left( \frac{N_{AB} * N_{DC}}{n_i^2} \right)$$

charges de déplétion :

$$Q_{DE} = Q_{DE0} \sqrt{\frac{\phi_{0E} - V_{BE}}{\phi_{0E}}}$$

$$Q_{DC} = Q_{DC0} \sqrt{\frac{\phi_{0C} - V_{BC}}{\phi_{0C}}}$$

*influence de la tension  
sur la largeur des zones  
de déplétion*

charges de diffusion :

$$Q_F = \tau_T I_s \left[ e^{\frac{V_{BE}}{\phi_T}} - 1 \right]$$

$$Q_R = \tau_T I_s \left[ e^{\frac{V_{BC}}{\phi_T}} - 1 \right]$$

*influence de la tension  
sur le profil des charges  
de minoritaires dans la  
base*

2013-14

D. Flandre

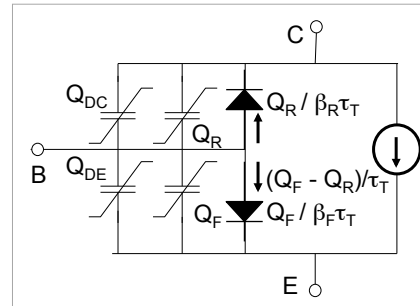
42

## calcul du courant

$$I_C = \frac{Q_F - Q_R}{\tau_T} - \frac{Q_R}{\beta_R \tau_T} - \frac{d(Q_{DC} + Q_R)}{dV_{BC}} * \frac{dV_{BC}}{dt}$$

$$I_E = -\frac{Q_F - Q_R}{\tau_T} - \frac{Q_F}{\beta_F \tau_T} - \frac{d(Q_{DE} + Q_F)}{dV_{BE}} * \frac{dV_{BE}}{dt}$$

$$I_B = \frac{Q_F}{\beta_F \tau_T} + \frac{Q_R}{\beta_R \tau_T} + \frac{d(Q_{DE} + Q_F)}{dV_{BE}} * \frac{dV_{BE}}{dt} + \frac{d(Q_{DC} + Q_R)}{dV_{BC}} * \frac{dV_{BC}}{dt}$$



Transistor intrinsèque

2013-14

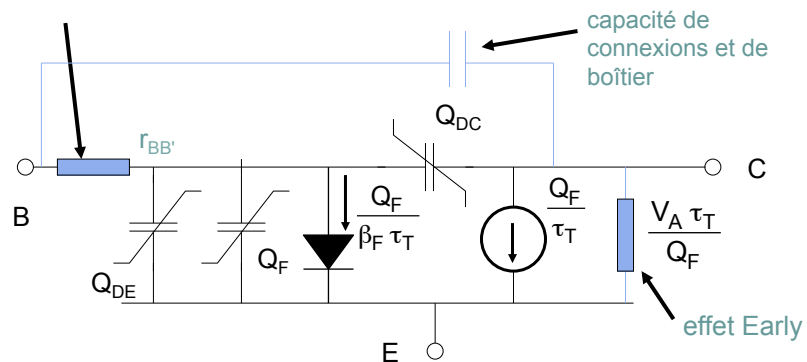
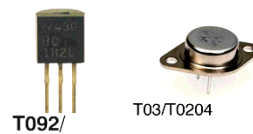
D. Flandre

43

## modèle en régime actif

$Q_R$  est négligeable

résistance série dans la  
connexion de base



avec les éléments parasites

2013-14

D. Flandre

44

## modèle petit-signal ou linéaire

Ici, courant  $I_1$  fonction non-linéaire de deux tensions  $V_1, V_2$

Si chaque tension est la somme d'un terme continu  $V_o$ , et d'un terme variationnel  $v$

$$V_1 = V_{1o} + v_1 \quad \text{et} \quad V_2 = V_{2o} + v_2$$

et de même pour le courant

$$I_1 = I_{1o} + i_1$$

un développement en série donne (l'indice "o" qualifie les termes statiques)

$$I_{1o} + i_1 = f(V_{1o}, V_{2o}) + v_1 \left. \frac{\partial f}{\partial V_1} \right|_{V_{1o}, V_{2o}} + v_2 \left. \frac{\partial f}{\partial V_2} \right|_{V_{1o}, V_{2o}} + \dots$$

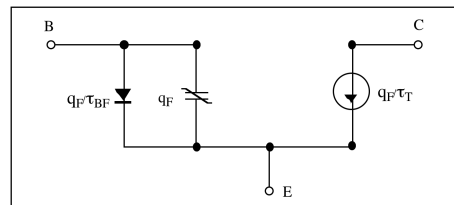
$$i_1 = v_1 \left. \frac{\partial f}{\partial V_1} \right|_{V_{1o}, V_{2o}} + v_2 \left. \frac{\partial f}{\partial V_2} \right|_{V_{1o}, V_{2o}}$$

2013-14

D. Flandre

45

## en régime actif



$$I_C = \frac{q_F}{\tau_T}, \quad I_B = \frac{q_F}{\tau_{BF}} + \frac{dq_F}{dt}$$

$$I_E = -(I_B + I_C) = -q_F \left( \frac{1}{\tau_{BF}} + \frac{1}{\tau_T} \right) - \frac{dq_F}{dt}$$

$$q_F = q_{F0} [\exp(V_{BE}/kT) - 1], \quad \beta_F = \frac{\tau_{BF}}{\tau_T}, \quad q_{F0} = I_{TS} \tau_T$$

$$V_{BE}(t) = V_{BE0} + v_{BE}(t)$$

$$I_{C0} + i_C = \frac{q_{F0}}{\tau_T} [\exp(V_{BE0}/kT) - 1] + v_{BE} \frac{q}{kT} \frac{q_{F0}}{\tau_T} \exp(V_{BE0}/kT)$$

soit

$$\text{DC } I_{C0} = \frac{q_{F0}}{\tau_T} [\exp(V_{BE0}/kT) - 1]$$

et

$$\text{AC } i_C = g_m v_{BE}$$

$$g_m = \frac{q}{kT} I_{C0}$$

transconductance

2013-14

D. Flandre

46

soit

$$I_{B0} + i_B = \frac{qF0}{\tau_{BF}} [\exp(V_{BE0}/kT) - 1] + \frac{q}{kT} qF0 \exp(V_{BE0}/kT) \left( \frac{V_{BE}}{\tau_{BF}} + \frac{dv_{BE}}{dt} \right)$$

et

**DC**  $I_{B0} = \frac{qF0}{\tau_{BF}} [\exp(V_{BE0}/kT) - 1]$

**AC**  $i_B = \frac{v_{EB}}{r_\pi} + C_F \frac{dv_{BE}}{dt}$  si  $r_\pi = \frac{\tau_{BF}}{\tau_T} \frac{1}{g_m}$  et  $C_F = g_m \tau_T$

$C_F = dq_F/dV_{BE}$  représente la capacité de diffusion associée aux variations des charges stockées dans la base

$r_\pi$  est la résistance dynamique d'entrée

+ capacités des zones de transition des jonctions E-B et B-C, et la résistance série du contact de base.

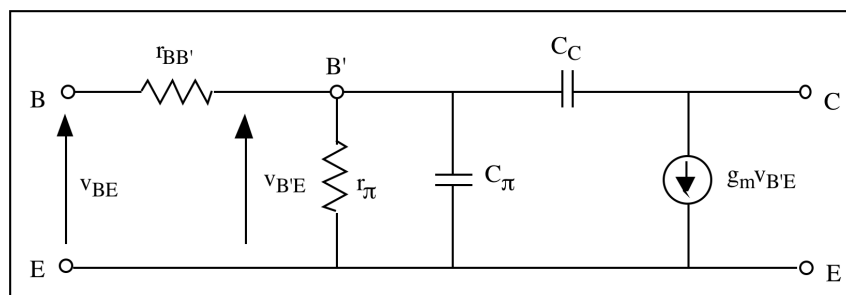
$$C_E = \frac{dq_E}{dV_{BE}} \quad \text{et} \quad C_C = \frac{dq_C}{dV_{BC}}$$

2013-14

D. Flandre

47

## Modèle $\pi$ -hybride petit-signal



en l'absence d'effet Early et parasites

$$C_\pi = C_F + C_E$$

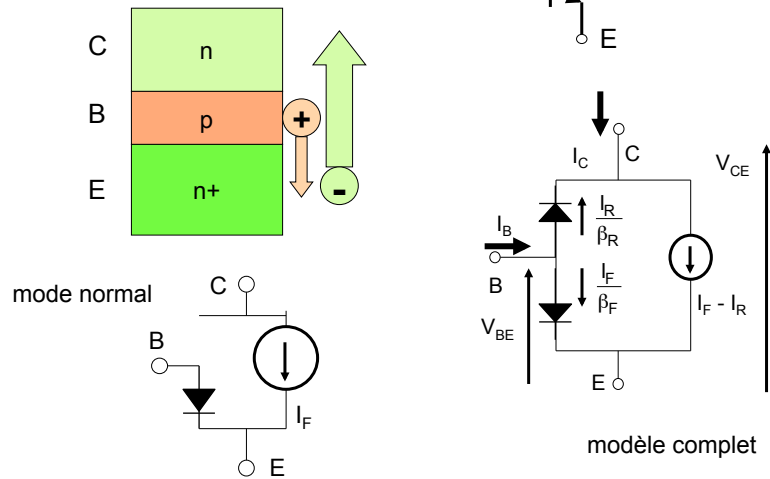
2013-14

D. Flandre

48



## NPN : résumé

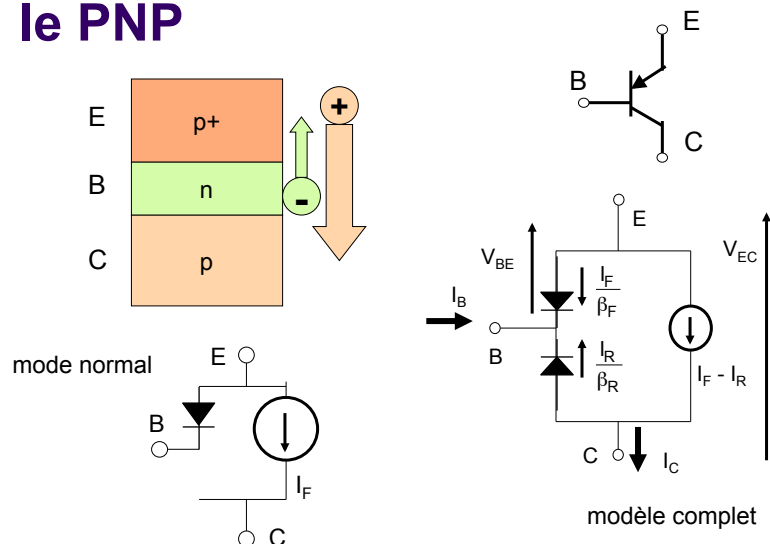


2013-14

D. Flandre

49

## un composant symétrique : le PNP



2013-14

D. Flandre

50

## Transistor bipolaire

- structure et principe
- régime actif
- régime inverse
- régime saturé
- écarts par rapport à l'idéal (effet Early, température...)
- comportement dynamique

2013-14

D. Flandre

51

## utiliser un transistor (*modèles*)

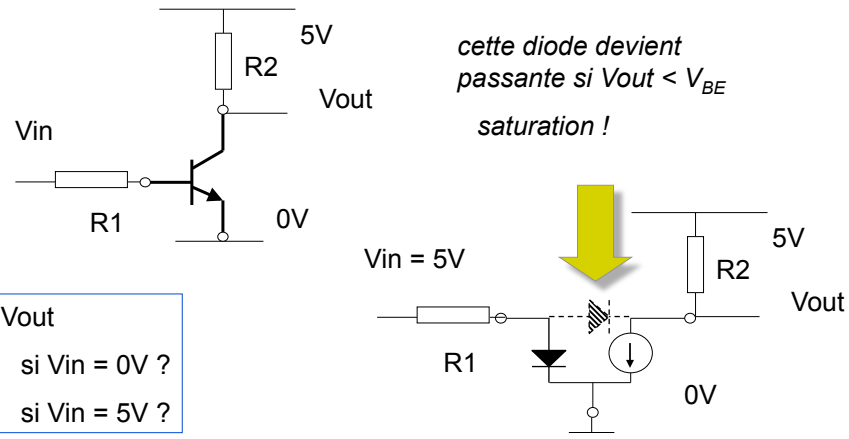
- en amplificateur
  - « bien » polariser le transistor (*DC*)
    - pour meilleures performances
    - effet de la température ?
    - ... stabilité !
  - gain en tension et/ou en courant ? (*AC*)
    - limite en fréquence (*capacités*) ...
- en interrupteur
  - Niveaux logiques ou binaires (*DC*)
  - Transitoires (*dynamique*)
    - Limite en vitesse (*charges*)

2013-14

D. Flandre

52

## utilisation comme interrupteur

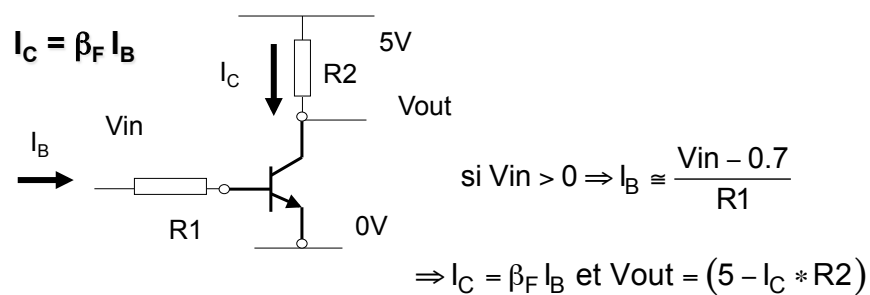


2013-14

D. Flandre

53

## quand est-ce qu'on sature le transistor ?



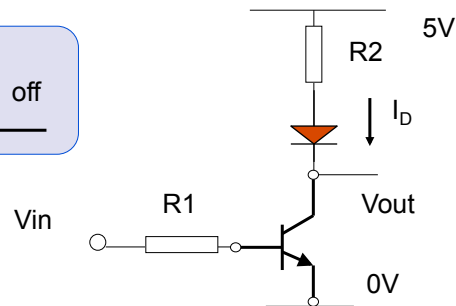
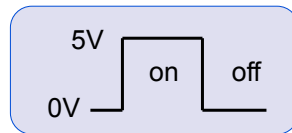
si  $V_{out} < 0.7$  : la jonction B-C devient passante, et le transistor sature

2013-14

D. Flandre

54

## commander une led ?



déterminer les valeurs de  $R1$  et  $R2$   
pour

$$I_D = 0 \text{ pour } V_{in} = 0V$$

$$I_D = 10 \text{ mA pour } V_{in} = 5V$$

*quelle valeur choisir  
pour  $V_{out}$  ?*